

НОВЫЙ МЕТОД ИССЛЕДОВАНИЯ ЛИНЕЙНОГО ЭЛЕКТРООПТИЧЕСКОГО ЭФФЕКТА

В. Стадник

Предлагается использовать формулы преобразования прямоугольных координат, выраженные через углы Эйлера, для изучения линейного электрооптического эффекта. Метод иллюстрируется на примере кристаллов симметрии $\bar{4}2m$.

В работе показано, каким образом можно использовать уравнения преобразований, содержащие углы Эйлера, при исследовании линейного электрооптического эффекта для кристаллов класса $\bar{4}2m$ (сюда принадлежат, например, кристаллы ADP, KDP и др.). Используемый метод позволяет получить для любого направления вектора волновой нормали соответствующие показатели преломления, которые определяют фазовые скорости распространения световых волн и их направления поляризации, определить, при каких условиях проявляются линейный и квадратичный электрооптические эффекты и являются ли они непрерывными или нет. (Об электрооптике см. [1], где указана обширная литература).

Пусть покоящаяся прямоугольная координатная система (x, \bar{y}, \bar{z}) является одновременно тензорной координатной системой [2]. Направляющие косинусы между системой (x, \bar{y}, \bar{z}) и любой другой координатной системой (x, y, z) , выраженные с помощью углов Эйлера (ϑ, φ, ψ), приведены в таблице. Предположим, что вектор волновой нормали светового луча направлен по оси z . Эллипс, который возникнет при пересечении эллипсоида показателей преломления с плоскостью $z=0$, лежит в плоскости (x, y) и повернут на угол ϕ .

Направляющие косинусы между осями координатных систем $(\bar{x}, \bar{y}, \bar{z})$ и (x, y, z) , выраженные с помощью углов Эйлера (φ, ϑ, ψ);
 $c_1 = \cos \varphi, c_2 = \cos \vartheta, c_3 = \cos \psi, s_1 = \sin \varphi, s_2 = \sin \vartheta, s_3 = \sin \psi$

	\bar{x}	\bar{y}	\bar{z}
x	$\alpha_1 = c_1 c_2 c_3 - s_1 s_3$	$\alpha_2 = s_1 c_2 c_3 + c_1 s_3$	$\alpha_3 = -s_2 c_3$
y	$\beta_1 = -c_1 c_2 s_3 - s_1 c_3$	$\beta_2 = -s_1 c_2 s_3 + c_1 c_3$	$\beta_3 = s_2 s_3$
z	$\gamma_1 = c_1 s_2$	$\gamma_2 = s_1 s_2$	$\gamma_3 = c_2$

Если уравнение показателей преломления в системе (x, \bar{y}, \bar{z}) для кристаллического класса $\bar{4}2m$

$$c^2(\bar{x}^2 + \bar{y}^2) + e^2 \bar{z}^2 + 2r_{41} \bar{z}(E_x \bar{y} + E_y \bar{x}) + 2r_{63} E_z \bar{x} \bar{y} = 1 \quad (1)$$

переписать с использованием следующих выражений при $z=0$,

$$\begin{aligned} \bar{x} &= \alpha_1 x + \beta_1 y + \gamma_1 z, & E_{\bar{x}} &= \alpha_1 E_x + \beta_1 E_y + \gamma_1 E_z, \\ \bar{y} &= \alpha_2 x + \beta_2 y + \gamma_2 z, & E_{\bar{y}} &= \alpha_2 E_x + \beta_2 E_y + \gamma_2 E_z, \\ \bar{z} &= \alpha_3 x + \beta_3 y + \gamma_3 z, & E_{\bar{z}} &= \alpha_3 E_x + \beta_3 E_y + \gamma_3 E_z, \end{aligned}$$

то получим уравнение искомого эллипса в виде

$$x^2 \{ (\alpha_1^2 + \alpha_2^2) \sigma^2 + \alpha_3^2 e^2 + 2E_x (2r_{41} + r_{63}) \alpha_1 \alpha_2 \alpha_3 + 2E_y [r_{41} (\alpha_2 \alpha_3 \beta_1 + \alpha_1 \alpha_3 \beta_2) + r_{63} \alpha_1 \alpha_2 \beta_3] + 2E_x [r_{41} (\alpha_2 \alpha_3 \gamma_1 + \alpha_1 \alpha_3 \gamma_2) + r_{63} \alpha_1 \alpha_2 \gamma_3] \} + y^2 \{ \beta_1^2 + \beta_2^2 \} \sigma^2 + \beta_3^2 e^2 + 2E_x [r_{41} (\alpha_1 \beta_2 \beta_3 + \alpha_2 \beta_1 \beta_3) + r_{63} \alpha_3 \beta_1 \beta_2] + 2E_y (2r_{41} + r_{63}) \beta_1 \beta_2 \beta_3 + 2E_x [r_{41} (\beta_2 \beta_3 \gamma_1 + \beta_1 \beta_3 \gamma_2) + r_{63} \beta_1 \beta_2 \gamma_3] \} + 2xy \{ (\alpha_1 \beta_1 + \alpha_2 \beta_2) \sigma^2 + \alpha_3 \beta_3 e^2 + E_x [r_{41} \alpha_1 (\alpha_2 \beta_3 + \alpha_3 \beta_2) + r_{41} \alpha_2 (\alpha_1 \beta_3 + \beta_1 \alpha_3) + r_{63} \alpha_3 (\alpha_1 \beta_2 + \beta_1 \alpha_2)] + E_y [r_{41} \beta_1 (\alpha_2 \beta_3 + \alpha_3 \beta_2) + r_{41} \beta_2 (\alpha_1 \beta_3 + \beta_1 \alpha_3) + r_{63} \beta_3 (\alpha_1 \beta_2 + \beta_1 \alpha_2)] + E_x [r_{41} \gamma_1 (\alpha_2 \beta_3 + \alpha_3 \beta_2) + r_{41} \gamma_2 (\alpha_1 \beta_3 + \beta_1 \alpha_3) + r_{63} \gamma_3 (\alpha_1 \beta_2 + \beta_1 \alpha_2)] \} = 1. \quad (2)$$

Продольный электрооптический эффект

Уравнение (2) при условиях $E_x = E_y = 0$ и $\alpha_i, \beta_i, \gamma_i$ ($i = 1, 2, 3$) при $c_3 = 1, s_3 = 0$

$$x^2 (A + \alpha) + y^2 (B + \beta) + xy\gamma = 1, \quad (4)$$

где

$$\left. \begin{aligned} A &= \sigma^2 + (e^2 - \vartheta^2) \sin^2 \vartheta, \\ B &= \sigma_1^2, \\ \alpha &= E_x (-r_{41} \sin 2\varphi \sin 2\vartheta \sin \vartheta + r_{63} \sin 2\varphi \cos^3 \vartheta), \\ \beta &= -E_x r_{63} \sin 2\varphi \cos \vartheta, \\ \gamma &= 2E_x (-r_{41} \sin^2 \vartheta + r_{63} \cos^2 \vartheta) \cos 2\varphi \end{aligned} \right\} \quad (5)$$

является уравнением продольного электрооптического эффекта.

Выражение (4) при условиях (5) будет в дальнейшем изучено для $(\varphi, \vartheta) \in \langle 0, \pi \rangle \times \langle 0, \pi \rangle$.

1. Случай $A \neq B$ будет иметь место при $\varphi \in \langle 0, \pi \rangle$ и $\vartheta \neq 0$ он распадается на четыре:

а) $\alpha = 0$ ($\beta = 0$), $\gamma = 0$ при $\varphi = \pi/4, 3\pi/4$; $\vartheta = \pi/2$.

В этом случае из (4) следует, что продольный электрооптический эффект (ПЭЭ) отсутствует.

б) $\alpha = 0$ ($\beta = 0$), $\gamma \neq 0$ при $\varphi = 0, \pi/2$; $\vartheta \in (0, \pi)$ и при

$$\varphi \in \langle 0, \pi/4 \rangle, (\pi/4, 3\pi/4), (3\pi/4, \pi); \vartheta = \pi/2. \quad (6)$$

$$\text{Тогда } n_x = \frac{1}{\sqrt{A}} \left[1 - \frac{\gamma^2}{8A(A-B)} \right], \quad n_y = \frac{1}{\sqrt{B}} \left[1 + \frac{\gamma^2}{8B(A-B)} \right] \quad \text{и}$$

$$\text{Ag } 2\psi = \frac{\gamma}{A-B}.$$

В этом случае имеет место только квадратичный ПЭЭ.

в) $\alpha \neq 0$ ($\beta \neq 0$), $y = 0$ при

$$\varphi = \pi/4, 3\pi/4 \text{ и } \vartheta \in (0, \pi/2), (\pi/2, \pi). \quad (7)$$

$$\text{Здесь } n_x = \frac{1}{\sqrt{A}} \left(1 - \frac{\alpha}{2A} \right), \quad n_y = \frac{1}{\sqrt{B}} \left(1 - \frac{\beta}{2B} \right) \text{ и } \text{Ag } 2\psi = 0.$$

Только линейный ПЭЭ имеет место.

г) $\alpha \neq 0$ ($\beta \neq 0$), $\gamma \neq 0$ при

$$\varphi \in (0, \pi/4), (\pi/4, \pi/2), (\pi/2, 3\pi/4), (3\pi/4, \pi) \text{ и } \vartheta \in (0, \pi/2), (\pi/2, \pi). \quad (8)$$

$$\text{Здесь } n_x = \frac{1}{\sqrt{A}} \left\{ 1 - \frac{1}{2A} \left[\alpha + \frac{\gamma^2}{4|A + \alpha - (B + \beta)|} \right] \right\}, \quad n_y = \frac{1}{\sqrt{B}} \left\{ 1 - \frac{1}{2B} \times \right. \\ \left. \times \left[\beta - \frac{\gamma^2}{4|A + \alpha - (B + \beta)|} \right] \right\}, \quad \text{Ag } 2\psi = \frac{\gamma}{A + \alpha - (B - \beta)}.$$

В этом случае имеют место линейный и квадратичный ПЭЭ.

2. Случай $A = B$ имеет место при $\varphi \in \langle 0, \pi \rangle$ и $\vartheta = 0$ и распадается на три следующих: а) $\alpha = 0$ ($\beta = 0$), $\gamma \neq 0$ при $\varphi = 0, \pi/2$ и $\vartheta = 0$; б) $\alpha \neq 0$ ($\beta \neq 0$), $\gamma = 0$ при $\varphi = \pi/4, 3\pi/4$ и $\vartheta = 0$; в) $\alpha \neq 0$ ($\beta \neq 0$), $\gamma \neq 0$ при $\varphi \in (0, \pi/4), (\pi/4, \pi/2), (\pi/2, 3\pi/4), (3\pi/4, \pi)$ и $\vartheta = 0$.

Рассмотрение показывает, что этим случаям отвечает только линейный ПЭЭ, который при $\varphi=0$ характеризуется величинами $n_x = \frac{1}{\sigma} \left(1 - \frac{E_x}{2\sigma^2} r_{63}\right)$, $n_y = \frac{1}{\sigma} \left(1 + \frac{E_x}{2\sigma^2} r_{63}\right)$, $\psi = \pi/4$.

Графическое изображение полученных выше результатов представлено на рис. 1. Если взять конкретные материалы, то получаем еще два случая: $\alpha=0$, $\beta \neq 0$, $\gamma=0$ и $\alpha=0$, $\beta \neq 0$, $\gamma \neq 0$ в зависимости от величин электрооптических коэффициентов r_{41} и r_{63} .

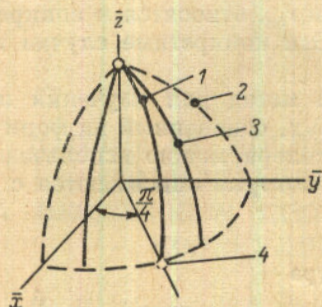


Рис. 1. Графическое изображение линейного ПЭЭ для кристаллов класса 42m.

1 — линейный, 2 — квадратичный, 3 — линейный и квадратичный, 4 — отсутствуют.

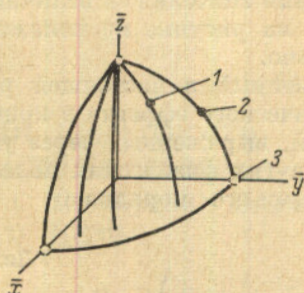


Рис. 2. Графическое изображение линейного ТЭЭ для кристаллов класса 42m.

1 — линейный (симметричный) и квадратичный, 2 — линейный (несимметричный) и квадратичный, 3 — отсутствуют.

Поперечный электрооптический эффект

Уравнение эллипса для поперечного электрооптического эффекта получается, если в (2) $E_z=0$ и $\alpha_i, \beta_i, \gamma_i$ ($i=1, 2, 3$) при $c_3=1$ и $s_3=0$

$$x^2(A + \bar{\alpha}) + y^2(B + \bar{\beta}) + xy\bar{\gamma} = 1, \quad (9)$$

где

$$\left. \begin{aligned} \bar{\alpha} &= -E_x \left(r_{41} + \frac{r_{63}}{2} \right) \sin 2\varphi \sin 2\vartheta \cos \vartheta - E_y r_{41} \cos 2\varphi \sin 2\vartheta, \\ \bar{\beta} &= E_x r_{63} \sin 2\varphi \sin \vartheta, \\ \bar{\gamma} &= -E_x (r_{41} + r_{63}) \cos 2\varphi \sin 2\vartheta + 2E_y r_{41} \sin 2\varphi \sin \vartheta. \end{aligned} \right\} \quad (10)$$

1. Случай $A=B$ имеет место при $\varphi \in (0, \pi)$; $\vartheta \neq 0$. Он распадается на четыре следующих:

$$\text{а) } \bar{\alpha}=0, \bar{\beta}=0, \bar{\gamma}=0 \text{ при } \varphi=0, \pi/2 \text{ и } \vartheta=\pi/2, \quad (11)$$

Здесь $n_x = 1/\sqrt{A}$, $n_y = 1/\sqrt{B}$, $\text{tg } 2\psi = 0$ и из (9) при условиях (11) получаем, что поперечный электрооптический эффект (ТЭЭ) отсутствует.

$$\text{б) } \bar{\alpha}=0, \bar{\beta} \neq 0, \bar{\gamma} \neq 0 \text{ при } \varphi \in (0, \pi/2), (\pi/2, \pi) \text{ и } \vartheta=\pi/2. \quad (12)$$

$$\text{Здесь } n_x = \frac{1}{\sqrt{A}} \left[1 - \frac{\bar{\gamma}^2}{8A(A-B-\bar{\beta})} \right], \quad n_y = \frac{1}{\sqrt{B}} \left\{ 1 - \frac{1}{2B} \left[\bar{\beta} - \frac{\bar{\gamma}^2}{4(A-B-\bar{\beta})} \right] \right\}$$

$$\text{и } \text{tg } 2\psi = \frac{\bar{\gamma}}{A-B-\bar{\beta}}.$$

Из (9) следует, что этому случаю отвечают линейный и квадратичный ТЭЭ.

$$\text{в) } \bar{\alpha} \neq 0, \bar{\beta}=0, \bar{\gamma} \neq 0 \text{ при } \varphi=0, \pi/2 \text{ и } \vartheta \in (0, \pi/2), (\pi/2, \pi). \quad (13)$$

$$\text{При этом } n_x = \frac{1}{\sqrt{A}} \left\{ 1 - \frac{1}{2A} \left[\bar{\alpha} + \frac{\bar{\gamma}^2}{4(A-B+\bar{\alpha})} \right] \right\}, \quad n_y = \frac{1}{\sqrt{B}} \left[1 + \frac{\bar{\gamma}^2}{\bar{\gamma}B(A-B+\bar{\alpha})} \right], \quad \text{tg } 2\psi = \frac{\bar{\gamma}}{A-B+\bar{\alpha}}.$$

Имеют место линейный и квадратичный ТЭЭ.

$$\text{г) } \bar{\alpha} \neq 0, \bar{\beta} \neq 0, \bar{\gamma} \neq 0 \text{ при } \varphi \in (0, \pi/2), (\pi/2, \pi); \vartheta \in (0, \pi/2), (\pi/2, \pi). \quad (14)$$

Здесь $n_x = \frac{1}{\sqrt{A}} \left\{ 1 - \frac{1}{2A} \left[\bar{\alpha} + \frac{\bar{\gamma}^2}{4[A + \bar{\alpha} - (B + \bar{\beta})]} \right] \right\}$, $n_y = \frac{1}{\sqrt{B}} \left\{ 1 - \frac{1}{2B} \left[\bar{\beta} - \frac{\bar{\gamma}^2}{4[A + \bar{\alpha} - (B + \bar{\beta})]} \right] \right\}$, $\text{tg } 2\psi = \frac{\bar{\gamma}}{A - B + \bar{\alpha} - \bar{\beta}}$. Этому случаю отвечают линейный и квадратичный ТЭЭ.

2. Случай $A = B$ имеет место при $\varphi \in (0, \pi)$ и $\vartheta = 0$. При этом $\bar{\alpha} = \bar{\beta} = \bar{\gamma} = 0$ и ТЭЭ отсутствует.

Графическое изображение ТЭЭ представлено на рис. 2. Случаи, характеризующиеся значениями величин r_{41} и r_{63} , относятся к конкретным материалам и на рисунке не показаны. Эти конкретные случаи надо изучать отдельно.

Предложенный в настоящей работе метод для изучения линейного электрооптического эффекта в кристаллах, основанный на формулах преобразований, выраженных через углы Эйлера, можно использовать и для изучения других физических явлений, которые описываются с помощью тензоров третьего порядка.

Литература

- [1] Е. П. Мустель, В. Н. Парышин. Методы модуляции и сканирования света, М., 1970.
- [2] Дж. Най. Физические свойства кристаллов, ИЛ, М., 1967.

Институт радиотехники и электроники
Чехословацкой академии наук.

Поступило в Редакцию 5 марта 1971 г.